研 究

熱圏及び電離圏に対する磁気嵐の効果

---OGO6号搭載の質量分析器観測結果に基づく研究----

丸 橋 克 英* (昭和52年7月10日受理)

GEOMAGNETIC STORM EFFECTS ON THE THERMOSPHERE AND THE IONOSPHERE REVEALED BY *IN SITU*MEASUREMENTS FROM OGO 6

By

Katsuhide MARUBASHI

The temporal response of ion and neutral densities to a geomagnetic storm has been investigated on a global scale with data from consecutive orbits of OGO-6 (>400 km) for 4 days covering both magnetically quiet and disturbed conditions. The first response of the neutral atmosphere to the storm takes place in the H and He densities which start to decrease near the time of the storm sudden commencement. The maximum decreases in H and He were more than 40% of the normal density at high latitudes. A subsequent increase in O and N2 densities occurs about 8 hours later than the change in H and He densities, while the relative O and N2 density changes indicate a depletion of atomic oxygen in the lower thermosphere by more than a factor of two. The overall features of the change in the neutral atmosphere, especially the patterns of change for individual species, strongly support the physical picture that energy is deposited primarily at high latitudes during the storm, and the thermosphere structure changes through 1) heating of the lower thermosphere and 2) generation of large scale circulation in the atmosphere with upwelling at high latitudes and subsidence at the equator. The storm-time response of H+ occurs in two distinct regions separated by the low latitude boundary of the light ion trough. While on the poleward side of the boundary the H+ density decreases in a similar manner to the decrease in H density, on the equatorward side of the boundary the H+ decrease occurs about half a day later. It is shown that the decrease of H+ density is principally caused by the decrease in H density for both regions. The difference in H+ response between the two regions is interpreted as the difference in H+ dynamics outside and inside the plasmasphere. The O+ density shows an increase,

^{*} 平磯支所 超高層研究室

the pattern of which is rather similar to that for O. Two possibilities for explaining the observed change in O^+ density are suggested. One attributes the observed increase in O^+ density to an increase in the plasma temperature during the storm. The other possibility is that the increase in the production rate of O^+ due to an increase in O density exceeds the increase in the loss rate of O^+ due to an increase in N_2 density, especially around the time of sunrise. Hence the change in O^+ density in the F-region may actually controlled by the change in O density.

1. はじめに

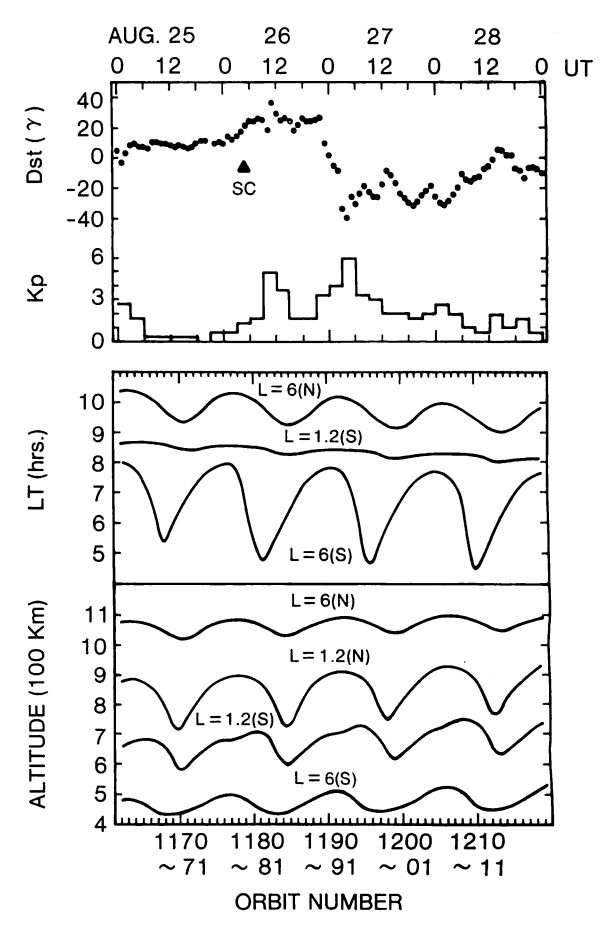
この研究の目的は、**OGO6号搭載の質量分析器の測**定で得られたイオン及び中性粒子密度の データ を解析し、磁気嵐に伴って熱圏及び電離圏の構造がどんな時間変化を示すかを調べ、その主要な原因をつきとめることである。

電離層が受ける磁気嵐の影響は40年以上も研究が続 けられている。Matuura (1972) を最近の総括的論文と してあげておこう。磁気嵐による電離層電子密度の変化 は,磁気嵐の発達段階,緯度,経度,高度,季節,地方 時等により複雑な様相を示すが、近年、中性大気に起こ る変化が重要な役割を果たしていることが、だんだん明 らかになってきた。特に熱圏における酸素原子と窒素分 子の密度比(以下では O/N2 密度比と 呼ぶ)変化は, 磁気嵐時 F 領域電子密度減少の主原因として指摘され ている (Seaton, 1956; King, 1966, 1971; Matuura, 1966; Duncan, 1969; Chandra and Herman, 1969; Chandra and Stubbe, 1971; Obayashi and Matuura, 1972)。磁気嵐の際に熱圏下部に 汎世界的規模で 対流現 象が起こり,O/N₂密度比の減少をひき起こすことが, 理論的にも (Volland and Mayr, 1971), 観測からも (Taeusch et al., 1971) 確かめられている。

上に述べたように、磁気嵐に伴う主要な電離層変化である F 領域電子密度の減少、あるいは厳密にいえば、 O^+ 密度の減少については理解が進んでいるが、 H^+ 密度の時間変化については,ほとんど調べられたことがない。上部電離圏の高い領域では H^+ が主成 分 である事実、また磁気嵐が及ぼす効果はイオンの種類によって異なるという可能性を考慮すればすぐわかるように、いわゆる電離層嵐の理解を深めるためには、電子密度の変化よりは、イオンの各成分の変化を知ることが 重要である。このような研究は、人工衛星による連続的な直接測定によって初めて可能になったものである。

この論文では、上部電離圏イオンの主成分である H^+ $\geq O^+$ 、中性粒子として N_2 、O、 H_e 、H のそれぞれの密度が磁気嵐の進行に伴ってどんな時間変化を示すかに

ついて述べる。特に H^+ , O^+ , Hについては, Cのような解析は今までに行われたことがないことを記しておこう。Hの密度は, H^+ , O^+ , Oの同時測定から化学平衡の関係式に基づいて計算した値を用いた(Cの関係式については, 例えば Brinton and Mayr(1971)を参照せよ)。次節 C0、では,解析した磁気嵐の概要と使用したデータについて述べ, C0、で C1、密度の計算値の妥当性を検討し, C2、で移動する人工衛星の C2、C3、C4、C4、C7



第1図 解析したデータの取得期間における D_{st} と K_p 指数の変動(上図)及びOGO6号の一定地磁気緯度通過時における地方時と高度の変化(下図)。

を抽出する方法について述べる。解析の結果は5. にまとめて示し、6. で観測されたイオン及び中性粒子の密度変化についての相互の関係を力学とイオン化学に基づいて考察する。最後に、この研究の主な成果を7. にまとめて示そう。

この研究に使用したデータは、1969年8月25日~28日の期間にOGO6号の北回りのパスで測定された H^+ . O^+ , H_e , O, N_2 の密度である。第1図にこの期間の地磁気擾乱を表す指数として、 D_{st} と K_p の変動と 'OGO6号が一定の地磁気緯度 (L) を通過するときの衛星位置の地方時と高度が示してある。図のUT軸は衛星の各パスが赤道を横切る時刻を表している。

磁気嵐の急激な開始現象(以下ではSCと呼ぶ)が,8月26日の04時40分UTごろに観測され,磁気嵐の主相では最大 -36γ の D_{st} が27日0400 UTに記録された。 K_p の変動から想像されるように,SCの数時間後,磁気嵐主相の始まるより前に極磁気擾乱が活発化している。衛星の高度と地方時に見られる周期的な変化は,地磁気緯度と地理緯度のずれのためである。この観測期間の衛星の近地点は南極付近にあり,衛星は南半球で450 km から700km,北半球で700km から1000 kmの領域を飛んでいた。衛星位置における地方時は,南半球では日出時近辺,北半球では9時から10時ごろである。

3. 田密度計算の妥当性

上部電離圏の H⁺ の化学的な生成と消滅は次の電荷転移反応で支配されている。

$$H + O^+ \longrightarrow H^+ + O$$
(1)

$$H^++O \longrightarrow H+O^+ \cdots (2)$$

したがって、(1)、(2)の間で化学平衡が成立している領域では \mathbf{H}^+ 、 \mathbf{O}^+ 、 \mathbf{O} の観測値を用いて \mathbf{H} の密度を計算で求めることができる。ここで \mathbf{H}^+ の運動がこの化学平衡の条件にどのような影響を与えるかを検討しておこう。第2図に示した \mathbf{H}^+ 、 \mathbf{O}^+ の密度分布は次の連立方程式を解いて得られたものである。

$$\frac{kT_{i}}{n(H^{+})} \frac{dn(H^{+})}{dh} + m(H^{+})g =$$

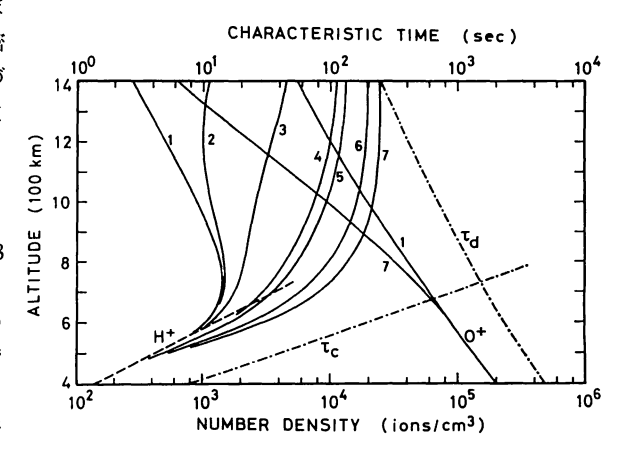
$$-m(H^{+})\nu(H^{+}, O^{+})v(H^{+}) - \frac{kT_{e}}{n_{e}} \frac{dn_{e}}{dh} \cdots (3)$$

$$\frac{kT_{i}}{n(O^{+})} \frac{dn(O^{+})}{dh} + m(O^{+})g =$$

$$m(O^{+})\nu(O^{+}, H^{+})v(H^{+}) - \frac{kT_{e}}{n_{e}} \frac{dn_{e}}{dh} \cdots (4)$$

$$1 \qquad d \qquad (n(H^{+})v(H^{+})^{3}) - Kn(O^{+})n(H)$$

$$\frac{1}{r^3} \frac{d}{dh} (n(\mathbf{H}^+)v(\mathbf{H}^+r^3) = Kn(\mathbf{O}^+)n(\mathbf{H})$$
$$-K'n(\mathbf{H}^+)n(\mathbf{O}) \qquad \cdots \cdots (5)$$



第2図 計算で求めた H^+ , O^+ 密度の高度分布。 $1 \sim 7$ 番の分布に対応する境界条件は第1表に示す。破線は化学平衡にある場合の H^+ 密度を示す。 H^+ の拡散時定数 (τ_a) と化学反応時定数 (τ_e) が一点鎖線で示してある。

てこで、k はボルツマン定数、T は温度、m は質量、n は数密度、g は重力加速度、 ν は衝突回数、v は巨視的な流れの速度、h は高度、r は地心距離を表す。またK、K' は化学反応(1)、(2)の係数 で あり、Banks and Kockarts (1973) から

$$K=2.5\times10^{-11}T_{n^{1/2}}$$
(6)

 $K' = 2.2 \times 10^{-11} T_n^{1/2}$ (7)

を採用した。

この計算に用いたモデルは次のとおりである。

- (1) 中性大気について:中性大気温度 $T_n=1000^\circ {
 m K}$ の 拡散平衡分布を仮定し, $h=400~{
 m km}$ における密度として $n({
 m O})=1.31\times 10^8/{
 m cm}^3$ をCIRA 1972 モデル大気 から採用し (CIRA, 1972), $n({
 m H})=1.10\times 10^5/{
 m cm}^3$ を $n({
 m H}^+)$ の計算結果が以下に示す観測値に近く なるように選んだ。
- (2) 荷電粒子について: $T_e = T_i = 2000$ °K の等温モデルを仮定し、h = 400 km における値として Taylor(1973) の統計結果から $n(O^+) = 2 \times 10^5$ /cm³ を採用した。400 km における $n(H^+)$ は化学平衡を仮定して計算する。この条件のもとで(3)—(5) はもう一つの境界条件に応じて、 H^+ のいろいろな 運動状態に対応する解をもつ。この計算では、高度 1400 km を上側の境界とし、 $n(H^+)$ を境界条件として与えた。第2図に1番から7番の番号を付けた7組の H^+ , O^+ の密度分布(ただし、図が繁雑になるのを避けるため O^+ については1番と7番だけ)を示してあるが、これに対応して得られる1400 km における H^+ の流量を第1表に示してある。一般に H^+ の上向きの流れに対して、その流速は高度とともに増大する傾向にあり、高い領域では(3)に慣性項の効果を加える必

第1表	第2図に示した1~7番の分布に対する境界条件	
	(高度 1400 km の H+密度) と計算 の結果求めら	
	れた高度 1400 km の H + 流量	

番 号	高度 1400 km のH+密度 (ions/cm³)	高度 1400 km の H+ 流量 (ions/cm²sec)
1	2.76×10 ²	8. 00×10 ⁷
2	1. 12×10 ³	7.73×10^7
3	4.47×10 ³	6. 46×10 ⁷
4	1.11×10 ⁴	2. 00×10 ⁷
5	1.32×10 ⁴	0.0
6	1.95×10 ⁴	-8.00×10^{7}
7	2.42×10 ⁴	-1.60×10^{8}
]	

要が生じる。また(5)の右辺は高度とともに減少するので H^+ の流量はある高度以上で は一定値 を と るようにな る。上側の境界を 1400~km にとったの は、 慣性項も H^+ の化学的生成、消滅項も小さくなるように選んだもので ある。

1番のイオン密度分布はこのモデルに対する最大の上 昇流量を与えるものであり、1400 km.で

$$\frac{1}{n(\mathrm{H}^+)} \frac{dn(\mathrm{H}^+)}{dh} = \frac{1}{n(\mathrm{O}^+)} \frac{dn(\mathrm{O}^+)}{dh} \quad \cdots (8)$$

を満足するように計算した。 数値的に は 1400 km の H+ 密度を更に小さく与えて(3)-(5)を解くことも可能である が (Banks and Doupnik, 1974), その場合, H+の流 量は1番の場合と等しく、流れの速度が大きくなるよう な解が得られる。このような高速流に対しては、慣性項 を無視した計算では、物理的に正しい解を求めることは できない。慣性項を入れた計算では、流れが連続的に加 速され超音速に達するような解、いわゆる地球の極域に 実現する極風 (polar wind) を表す解が最大のH+流量 を与えることが示されている (Banks and Holzer, 1969; Marubashi, 1970)。そしてこの場合, H⁺とO⁺ の衝突が頻繁に行われる高度範囲では(8)の関係が成立し ている。7番の分布は、最大の上昇流量の2倍の大きさ の下降流量に対応する解である。破線は O+の分布が1 番で与えられた場合に、 H+ が化学反応(1)、(2)によって 平衡状態にあるとしたときの H+ の密度分布を示してい る。結局、実線と破線の差が流れによる化学平衡からの ずれを表している。図中に H⁺ の化学的時定数 τ_c と拡 散の時定数 τ_a を一点鎖線で示した。 O^+ 密度分布に対 するスケール・ハイトを H(O+), H+ の O+ に対する 拡散係数を $D(H^+, O^+)$ と表すと, τ_c , τ_d は

$$\tau_c = \frac{1}{K'n(O)} \qquad \cdots (9)$$

$$\tau_d = \frac{H^2(O^+)}{D(H^+, O^+)} \qquad \cdots (10)$$

で与えられる。 ただし, $D(H^+, O^+)=kT_i/m(H^+)\nu$

 (H^+, O^+) 。ここで $\tau_c = \tau_d$ になる高度で、1番の H^+ 密度が最大値を示していることは注目に値 する。これは Bauer(1973)が述べているように、(M)の拡散時定数は最大流量の拡散をもとにしていることに対応している。この高度を境に、 H^+ 密度は低高度側では化学反応の支配を大きく受け、高高度側では拡散の支配を大きく受けるので、以下ではそれぞれの領域を化学支配高度領域、拡散支配高度領域と呼ぶことにする。

第2図によって、化学平衡の領域が1400 km における H^+ の流量に依存してどのように変化するかを検討して みよう。一般に、上層の流れは上向きの場合でも下層の 化学反応が非常に卓越した領域では H^+ は下向 きに流れ、この下降流の効果で H^+ 密度は化学平衡の時よりも 大きくなる。もちろんこの効果は上層の流れも下向きの 場合には更に強められる。したがって、1400 km で比較 的大きな上昇流がある場合($1\sim3$ 番)には、 τ_c/τ_a が 0.05 以下の領域で化学平衡が成立しているの に対して、7番のように大きな下降流がある場合には、 $\tau_c/\tau_a=0.01$ の高度以上では化学平衡からのずれが見られる。

 O^+ が主成分である領域では, $H(O^+)=k(T_e+T_i)/m$ (O^+) の関係があるので, $\nu(H^+, O^+)=0.63T_i^{-3/2}n$ (O^+) を採用すると($Schunk\ and\ Walker$,1970),(9), (O^+) ののから

$$\frac{\tau_c}{\tau_d} = 5.3 \times 10^{10} \left(\frac{r_e}{r_e + h}\right)^4 \left(\frac{2}{1 + T_e/T_i}\right)^2$$

$$\frac{1}{n(O)n(O^+)} \qquad \cdots \dots (1)$$

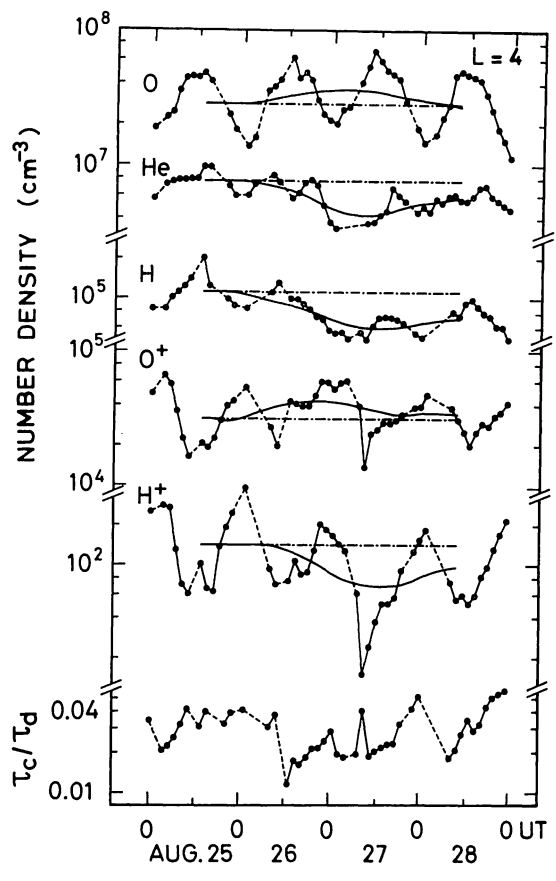
が得られる。ここで r_e は地球の半径である。したがって, T_e , T_i と n(O), $n(O^+)$ が測定されれば, τ_e/τ_a が計算され,測定が H^+ の化学平衡の領域で行われたものかどうかが判定できる。実際には, T_e , T_i の同時測定データが入手できなかったので, $T_e=T_i$ を仮定して τ_e/τ_a を求めた。一般に $T_e/T_i \ge 1$ なので,この仮定により τ_e/τ_a を真の値よりも大きめに評価することになる。 τ_e/τ_a が小さい程化学平衡が良い近似になることを考えると,上の仮定により,化学平衡の領域がひかえめに判定されたことになっている。

 H^+ , H, O^+ , Oの間で化学平衡が成り 立っていれば, n(H) は他の三成分の密度から

$$n(H) = \frac{8}{9} \frac{n(H^+)n(O)}{n(O^+)} \left(\frac{T_i}{T_n}\right)^{1/2} \cdots (12)$$

によって求められる。実際にはここでもデータの制約により $T_{i}=T_{n}$ を仮定したが、化学反応の 活発 な領域ではこの仮定はかなり妥当なものと思われる。

本節の終わりに、 Mayr et al. (1972) は理論計算により、中性大気風のドラッグ効果がイオン密度分布にかなりの影響を与えることを示した。ここで行ったモデル



第3図 連続する衛星軌道から L=4の通過時に選び出した O, He, H, O+, H+の密度測定値(黒丸)と24時間 の移動平均(滑らかな実線)。図の最下部にH+の化学反 応時定数と拡散時定数の比(τc/τa)を示す。

計算ではこの効果を考慮しなかったが、 H^+ が化学平衡にある高度範囲を観測から求めた τ_c/τ_a の値によって判定する方法は、大気によるドラッグ効果とは無関係に成立するものである。

4. 解析の方法

人工衛星の連続したパスからある一定の緯度を通過した時のデータを抜き出すことにより、一つの時系列データが得られる。OGO6号の場合には1周回の時間は約100分である。もちろんこのようにして得た密度の時系列データは、時間変動のほかに場所の違いによる変動を含んでいる。ここではLが一定になるようにデータを抜き出したので、地理緯度、経度による変化、高度、地方時による変化が重なっている。しかし、これらの変化は周期的なので、衛星軌道の下を地球が1回転する時間で移動平均をとることにより、時間変動のみが分離できる。この方法は時間分解能を犠牲にするが、このようにして得られる長時間変化は、磁気嵐の効果を研究する上

では有効である。これまでにも,人工衛星の観測を用いた,磁気嵐に伴う電離層,中性大気の時間変化の解析は行われているが(Bauer and Krishnamurthy, 1968; Obayashi, 1972; Taeusch et al., 1971), これらは地磁気が静穏な時の観測を基準に選び,それとの比較を行う方法をとっている。ここで述べた移動平均による解析では,基準の選び方が結果に影響しにくいことが一つの利点である。

実際のデータ処理の例示のため,第 3 図 に 南 北球 の L=4 に対する解析結果を示した。折線で結んだ 点が観 測値で,データの抜けているところは破線 で 結ん である。Hの密度は 3. で述べたように $T_n=T_i$ を仮定して 12により計算した値である。なめらかな実線は

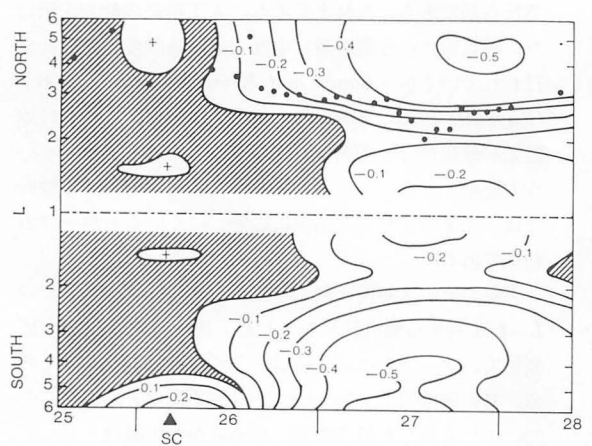
$$\overline{n}(t) = \exp\left[\frac{1}{p}\int_{t-\pi/2}^{t+p/2} \ln n(t')dt'\right] \quad \cdots (13)$$

で計算した移動平均である。ここで p は 24 時間とし、積分はデータの抜けている所を内挿して行った。磁気嵐が始まる前の期間の平均値は一定値を示し、移動平均によって周期的変動がうまくとり除かれたことがわかる。また、観測値の極大又は極小値を連ねる線と移動平均の変化に平行性がみられ、(13)による磁気嵐の効果の抽出の正当性を示している。磁気嵐に伴う変化として、 $(0,0)^4$ 密度の増加と $(13)^4$ 田本の位相を第1図のデータと比較すると、中性粒子については衛星高度の変化が、イオンについては太陽天頂角の変化が最も強く影響を及ぼしていることがわかる。図の最下部に、 $(13)^4$ $(13)^4$ $(14)^4$ $(14)^4$ $(15)^$

Taeusch et al. (1971) が述べているように、中性粒子密度も経度効果があり、これと高度変化のために N_2 密度は周期的に質量分析器の有効感度 以下 の 値に下がり、この結果、周期的なデータの欠落が生じた。このために N_2 ついては移動平均を計算しなかったが、測定結果の一部については後で考察したい。

第3図と同様な解析を H^+ , O^+ については南北両半球の L=1.2, 1.3, 1.5, 1.7, 2.0, 2.4, 3.0, 4.0, 5.0, 6.0 (不変地磁気緯度で 24.1° から 65.9° の 範囲)について行った。この期間の衛星の遠地点側である北半球では中性粒子の有意なデータは得られなかったので,O, H_e , H については南半球側の上記の 10 の緯度 (L) のうち,L=1.7以上のデータについて解析した。

観測から求めた τ_c/τ_d は南極域から北へ向かって衛星高度の上昇に伴って増加する傾向 を示し、 南半球の L=1.7 でおよそ 0.02 と 0.1 の間の値を示した。これを 3. の計算結果と比較すると、 H^+ の大きな下降流が存在 すれば、(12)による H密度の計算値は数十%程度の過大評価を与えるおそれがあることになる。しかし、ここで解



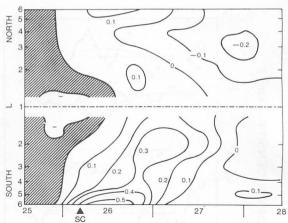
第4図 H*密度の地磁気静穏時の値からの相対的変化。有意な変化が認められない領域は斜線をほどこしてある。北半球側にある黒丸はLIT領域の赤道側境界の位置を、横軸に付した黒い三角形はSCの時刻を示す。

析したデータは、通常の状態では H^+ の大きな下降流のありそうもない領域で得られたものであると言える。その理由は一つには比較的高緯度側のプラズマポーズの外側の領域では H^+ は常に上向きに流れていると思われ、他方、解析した衛星のパスはプラズマ圏内部の緯度範囲では、 H^+ の流れが夜間の下降流から昼間の上昇流へ変わった時刻以後の時間帯のものと考えられる (Maru-bashi and Grebowsky, 1976) ことである。更に、この論文では磁気嵐前の静穏時の密度からの相対変化だけを問題にしているので、計算で求めたH密度の絶対誤差は解析結果にあまり影響しないであろう。

5. 解析結果

第4図から第6図に、イオン及び中性粒子密度の地磁気静穏時の値からの相対変化を示す。図の横軸は人工衛星が赤道を横切る時刻を、縦軸は地磁気緯度を L で表し、密度変化が等変化率線で示されている。顕著な密度変化がみられない領域は斜線を施してある。S C の時刻は小さい三角形で示した。この三図から磁気嵐に伴うイオン及び中性粒子密度の汎世界的変化がみてとれるわけであるが、2. で述べたようにこの図では衛星高度、地方時が緯度によって異なることを常に念頭に入れておく必要がある。

第4図は H^+ についての解析結果である。北半球にある黒丸は、個々の衛星軌道に沿った H^+ 密度分布から読みとった Light Ion Trough (高緯度地域に存在する軽イオンの低密度領域で、磁気圏ではプラズマポーズの外側の領域に対応すると考えられている。以下ではLIT領域と呼ぶ。)の赤道側境界の大体の位置を示している。 H^+ 密度の緯度分布か らLIT領域の境界の正確な位置

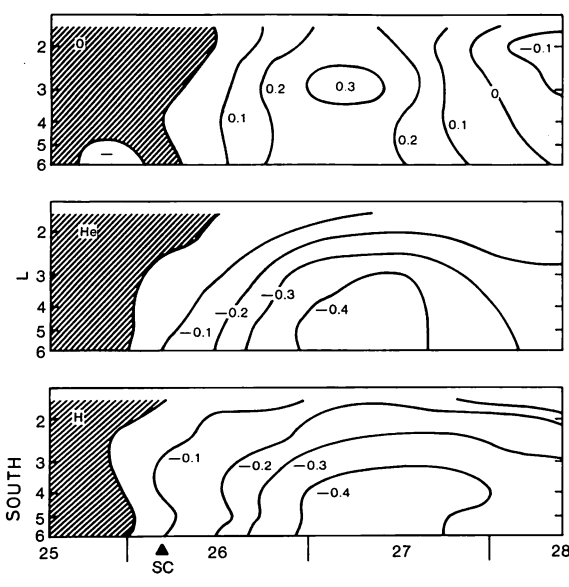


第5図 O*密度の相対的変化を第4図と同じフォーマットで示す。

を指し示すことは困難なことが少なくない(Taylor、1972)。ここでは、 H^+ 密度が 2×10^3 /cm 3 になる点を LIT 領域の赤道側境界を代表するものとして採用した。ここで解析したデータではほとんどの場合、この位置は H^+ 密度が低緯度側の高密度領域から高緯度側 の低密度領域へ急激に遷移する領域にあり、LIT 領域の赤道側境界の動きを十分に代表できると思われる。南半球側では衛星が低高度にあるため H^+ 密度が全体的に低く、したがって LIT 領域は識別できなかった。

第4図にみられる最も特徴的な事実は、LIT領域の 赤道側境界あるいはプラズマポーズを境にする二つの領 域で、明確に二つの段階に別れて H+密度の減少が起こ っていることである。第一段階では磁気嵐の開始に伴っ てLIT領域でほとんど一様な密度減少が起こる。ここ で解析した磁気嵐について、この減少は最大50%に達 した。このLIT領域で起こる第一段階のH+密度の減 少形態が主として化学支配高度領域 (2. 参照) にある南 半球と,拡散支配高度領域にある北半球に共通している ことは注目すべき観測事実である。第二段階の H+密度 の減少は、これより約半日以上遅れてプラズマポーズよ り低緯度側 (プラズマ圏内部) で起こる。減少の程度は 小さく、最大で20%であった。SCの前後に南半球の 高緯度に現れた H+密度の増加は、磁気圏の昼間側の磁 気中性点近傍に見られる電離増加の領域が低緯度側へ移 動した結果である。このことは、個々の軌道に沿った密 度分布から容易に確かめられる。

第5図は O*密度についての解析結果である。 O*密度は磁気嵐が起こると増加傾向を示し、この増加は高緯度側から始まり、低緯度ほど遅れる傾向が見られる。磁気嵐の回復期に O*密度の減少が観測されたが、減少の程度は北半球で著しい。全体的に O*の変化形態は南北

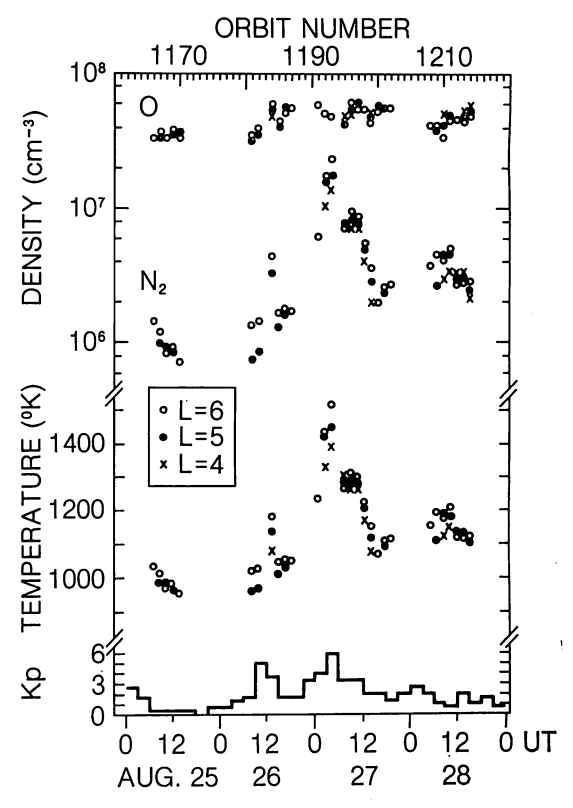


第6図 O, He, H 密度の相対的変化を第4図と同じフォーマットで示す。

の非対称性を示しており、これは H⁺ の変化と著しい対 照をなしている。この非対称性の原因としては、南北両 半球の地方時、高度、季節等の違いが考えられるが、6. で述べるように、地方時の違いが最も重要である。

第6図に示す中性粒子の密度変化には、 0 の 増加 と H, He の減少が磁気嵐に伴って起 こったことが認めら れる。O密度の増加は最大で約30%と、 南半球の O+ 密度の増加と同程度である。また、磁気嵐初期の高緯度 における O+の増加を別にすれば、全体的な変化形態も O, O+の間には類似性が認められる。H 密度は高緯度 ほど大きい減少を示し、磁気嵐の最盛期には40%の減 少をみせている。この値は H⁺ の減少と同程度である。 Hと H⁺ の密度変化について注目すべき差異が、減少の 始まる時間と減少領域の緯度的な広がりに認められる。 すなわち、Hの減少は磁気嵐の開始とほとんど同時に起 こっているのに対して、 H+の減少の始まりはこれより 少し遅れている。また、Hの変化形態は H+のようにL IT領域との関連性を示さず広い緯度範囲で同時に減少 が起こっている。He については大きさも変化形態も H と類似の減少が観測された。

磁気嵐の効果を研究するには、いろいろな高度で測定された密度を一定高度での値に換算することが望ましい。第3図にみられるように、比較的重い成分については高度による密度の変化が大きいので、一定高度での値への換算が特に望まれる。 $Hedin\ et\ al.$ (1974) は N_2 密度の測定値から外圏温度を推定し、これによって中性大気成分の任意高度の測定値を一定高度の値に換算する方法を考案した。 N_2 密度を基礎にする理由は、この成



第7図 高度 $450 \, \text{km}$ に換算したO, N_2 密度と N_2 密度から求めた外圏温度の衛星軌道ごとの変化を K_p の変動とともに示す。

分が熱圏下部の運動の影響を受けにくいからである。第7図に,この方法で求めた $450 \, \mathrm{km}$ 高度 の O , N_2 の密度と外圏温度が L=4, 5, 6 について示してある。データの欠落があるために決定的なことは結論できないが,次の諸点が認められる。第一に外圏温度は K_p と良い相関関係をもって変化し,温度上昇は高緯度ほど著しい。第二に O 密度の増加は実際に 26 日 1200 U T ごろに始まったように見える。最後に,データの欠落は N_2 密度が測定器の感度より低いために生じたものであり,この点からも上記の時刻以前には外圏温度の上昇が起こったとは考えにくい(図には O 密度に換算する時に N_2 密度が必要なためである)。

6. 理論的考察

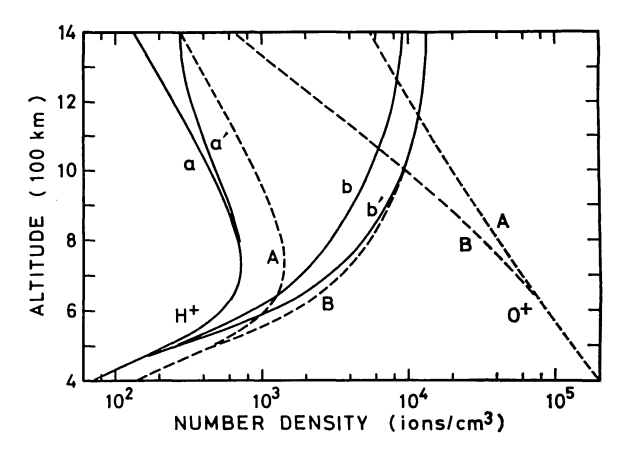
前節に述べた中性粒子密度の解析結果は、磁気嵐に伴って高緯度地方の下部熱圏に集中的に供給されたエネルギーが超高層大気の構造変化をもたらすという物理像と良い一致を示している。下部熱圏にエネルギーが加えられると、局所的に熱圏大気の温度上昇が起こると同時に、汎世界的規模で起こる熱圏対流の上昇流部分が形成

される。

最近の熱圏力学の研究 (Reber and Hays, 1973) に よれば、周囲の平均大気質量に比べて軽い質量の粒子は 上昇流によって密度の減少、下降流によって密度の増加 が起こされる。この理論研究の結果を HeとH密度の観 測結果(第6図)に適用すると、 L=1.7からL=6に わたる緯度範囲で上向きの大気運動が発生したと結論で きる。もちろん、その強度は高緯度側でより大きくなっ ている。下部熱圏にエネルギーの供給があった場合,渦 拡散係数の増加によっても軽い粒子の密度減少が起こる (Chandra and Sinha, 1974)。しかし、He, Hの密度 変化が磁気嵐の開始とほとんど同時に起こっていること から考えて、観測された密度変化は大気の上昇運動の効 果によるものであろう。拡散の時定数はずっと大きく, 下部熱圏で数日の程度である。H密度の減少が He 密度 の減少と大差ないことは不思議ではない。 He とHの密 度に対する大気鉛直流の効果の理論的に期待できる差は 15 % 程度である。

H密度の減少について、大気温度上昇により強まる逃 散効果(熱運動による重力圏の脱出)や極風による H+ の流出が原因にならないかとの疑問が生じるかもしれな い。しかし、観測された He とHの密度減少が非常に似 ているという事実により、そのいずれの可能性も否定さ れる。もし逃散効果が重要な役割を果たしているなら ば、He とHの密度減少には質量差に応じてもっと大き な差が生じるはずである。また、Hの減少の原因が極域 及びLIT領域のプラズマ流出による H⁺の減少にある とすれば、H密度の減少領域はLIT領域の形態と類似 性を示すはずである。一般に、人工衛星の観測で得られ た H+ 密度の緯度分布を見ると, 500 km 程度以下の高度 ではLIT領域の特徴は不明瞭になる (Taylor, 1972)。 このことは、LIT領域のプラズマ流出(Brinton et al., 1971) はH密度の減少を起こす原因にはなり得ない ことを意味している。実際, Hが O+との間で電荷交換 を行ない H⁺ となって失なわれる割合は、Hが大気中を 拡散して補給される割合に比べてずっと小さい。

鉛直上向きに風が起こることにより、O密度も熱圏下部では減少する傾向をもつが、大気温度の上昇は高い領域のO密度を増加させる。観測されたO密度の増加は、この二つの効果の組合わせの結果と考えられる。この例ではO密度増加の最大値はL=3の近辺に現れている。これは磁気嵐に伴って高緯度ほど大きなエネルギー供給を受けるので温度上昇による密度増加の効果も大きくなるが、上層流による下層でのO密度の減少も大きく、結果的に中緯度地帯で最大の増加が観測されたものであろう。また、第6図では高緯度ほど衛星高度が低く、このため温度上昇の効果も現れにくくなっていることも注意



第8図 地磁気静穏時のH密度分布モデルに対して計算された H*, O*の分布(破線)とH密度が50%減少した場合のH*, O*の分布(実線)。Aとaは最大のH*上昇流に対応する解であり、Bとbは流量を1400kmで0とした場合の解である。a'とb'は密度の低いH分布モデルに対して、それぞれAとBの1400kmの密度を境界条件として求めた H*の分布である。

する必要がある。第7図に示したデータでは、軌道番号 1191—1193(8月27日、00時—09時)に N_2 密度の増加と同時に O密度の減少が見られ、これは明らかに地磁気活動の活発化に対応している。この事実は、下部熱圏の上昇流による Oの減少が高度 450 km までも 温度上昇の効果に打ち勝っていたことを示している。 N_2 密度の変化から求めた外圏温度の上昇を 200°K とひか えめに見積ると、この温度変化に対応する O密度の増加は、高度 450km で 2 倍以上になる。第6 図で O密度増加が最大で 30 % になっている事実は、下部熱圏 で 40 % 程度の減少があったことを意味している。

 N_2 の観測結果によれば、外圏温度の上昇は K_p の変動に見られる極磁気擾乱の活動度とよく対応しているが S C の前後には顕著な変化が現れない。 C れは H_e , H の密度減少が地磁気嵐の発生とほとんど同時に起こっている事実と著しい対照をなしている。おそらく,大気の上昇運動を起こすには下部熱圏の限られた高度範囲の加熱で十分であるのに対して,熱圏全体の温度を上げるには,極磁気擾乱に伴う程度の大きなエネルギー供給が必要なためであろう。

 H^+ , O^+ 密度の変化形態の概観はH, Oの変化形態とよく似ている。この観測事実はイオン密度がそのもとになる中性粒子の密度に強く支配されていることを示唆する。次にH, O0密度変化に応答して H^+ , O^+ 密度がどのように変化するかという問題について考察しよう。

第8図はH密度分布の二つのモデルを用いて前述の方程式(3)-(5)を解いて求めた H⁺ と O⁺ 密度の高度分布を示す。破線で示した分布は第2図と同じモデルに対する

ものである。これに対して、磁気嵐のときにH密度が減 少することを考慮して、H密度だけを1/2に減じた場合 の解を実線で示してある。 O+の分布はH密度の違いに よってほとんど変化しないので、第二のモデルに対する ものは省略した。それぞれのH密度モデルに対して、二 つの異なった運動状態に対応するイオン密度分布が示し てある。すなわち、Aとaは H+の最大上昇流量を与え るような分布であり、LIT領域内のイオン 分布を表 し, Bとbは高度1400 km で H+の流量を0とした場合 の分布であり、プラズマ圏内部の状態を表している。も ちろんプラズマ圏の内部でも H+の流れを0と仮定する ことは正しくはないが、第2図でみたように、上昇流に しろ下降流にしろ流量が小さければ、イオン分布は流量 を 0 とした場合の分布と大して変わりがない。 a′, b′ で示した分布は、1400 km の H * 密度をそれぞれ A, B と一致させて擾乱時に対応するH分布を用いて求めた解 である。

プラズマポーズの外側の領域 (LIT領域) では、低 い高度で H+の減少が起こったとき高いところの密度を 一定に保持しようとする機構は考えられないので, a' で示されるような中間状態は起こり得ない。 したがっ て、LIT領域ではH密度が減少すると、まずこれと比 例して化学平衡領域で H+密度が減少し、拡散支配高度 領域の H+密度もこれに対応して直ちに H+の上昇流を 最大にするような分布が実現される(変化の速さを与え る時定数については第2図参照)。結局、磁気嵐が起こ り H密度が急激に 50% 減少したとすると、 H+分布は 静穏時の状態Aから擾乱時の状態aに1時間以内に変化 することになる。この変化の特徴として,密度の相対変 化が高度にほとんど依存しないことがあげられるが、こ の理論的結果は観測事実と非常によく一致している。す なわち,第4図の高緯度地域のH+変化は,拡散支配高 度領域にある北半球と化学支配高度領域にある南半球と で,同時にしかも同程度の減少を示している。 この H+ の減少がHの減少より少し遅れて始まっているのは、磁 気嵐の開始直後に O+の増加が起こり、Hの減少による 効果を相殺したためである。磁気嵐の開始より少し遅れ てOの増加が始まると、 O+ とOの増加の効果が相殺し て(方程式(12)を参照) H密度の変化に応じた H+密度の 変化が観測されるようになるわけである。

プラズマ圏の内部においても化学支配高度領域ではHの減少に応じて H^+ の減少が 1 時間以内に起こる。しかし,拡散支配高度領域では,電離圏の上に存在するプラズマ圏の多量の H^+ が磁力線に沿って下層の H^+ 減少を補うように流れ込み,密度変化を小さくする 働きをする。このため磁気嵐時に起こるH密度の減少に応じて化

学支配高度領域では H+密度の減少が直ちに起こるが, 高い所では H+密度はしばらくは一定に保たれ, b'の ような分布が実現する。最終的にはbで示されるような 平衡状態に到達するが、この新しい平衡状態に達するた めの特性時間はプラズマ圏に存在する全 H+ 粒子数によ って決められる。ここで高度1400km で 1 cm² の断面をも つ磁力管の中に含まれる H+ 粒子の総数を, B, bの分 布に対応してそれぞれ 1×10¹³ 個, 7×10¹² 個としよう。 磁力管に含まれる粒子総数は磁力管の体積に依存するた め地磁気緯度の関数であるが、上の値は Park (1974) がホイッスラー観測で求めた値を参考に、プラズマ圏内 部の代表としてL=2での値をとり、 $1400 {
m km}$ の ${
m H}^+$ 密度 に比例するように選んだ。この総粒子数の 差 3×1012 個 を b' の状態に対応する下向 き 流量 3.5×107 個/cm2 秒 で割ると、地磁気静穏時の平衡状態Bより地磁気擾乱時 の平衡状態 b への変化に要する時間として 8.6×10 秒 を得る。したがって、b' で表されるような H+ 分布が 一日程度持続することが結論される。この機構はプラズ マ圏内部の領域における H゚の減少が高緯度のLIT領 域の H+の減少より半日以上遅れている観測事実をうま く説明する。Bと b' 又はBとbの分布を比較すると, H+密度の減少の割合は高度の増加とともに小さくなっ ているし, 時間的にも高い所ほど減少が遅れることがわ かる。この結果は、プラズマ圏内部の H+の減少が南半 球側で少し早く起こっている観測事実とうまくあってい

ここで述べたように、地磁気嵐の時にプラズマ圏内部で下向きの流れが強まったとすると、3. で述べた H 密度の決定に影響を与えることが考えられる。しかし、この効果を補正するとH密度は更に減少することになり、したがって結論には影響しないことは明らかである。

第4図に示した H⁺密度の変化を高緯度側のLIT領域と低緯度側のプラズマ圏内部の二つに分けて論じたが、高緯度側の減少領域は黒丸で示すLITの境界よりも少し低緯度に広がっているようにも見える。これはプラズマ圏が内部プラズマ圏と外部プラズマ圏の二つの部分から構成されている(Banks et al., 1971; Park, 1974)とするならば、十分期待されることである。なぜならば、外部プラズマ圏は電離層からプラズマの補給を受けている状態にあり、この意味でLIT領域と似た性質をもっているからである。

第5図に示した O^+ 密度の変化のうちで、磁気嵐の初期にみられる高緯度地方の増加は、 O^+ N_2 の中性粒子密度に変化が起こる前に始まっていることからも、付加的な電離源が入射して起こしたと考えるのが自然な解釈であろう。この部分を除くと南半球の O^+ 密度の変化形

態はO密度の変化形態とかなり似ている。一般に上部電離圏の特に低い部分の O^+ 密度は F_2 層ピーク付近の O^+ 密度と比例的な関係をもって変化するはずである。またこれまでの多くの研究では, F_2 層ピーク付近の O^+ 密度はこの領域の O/N_2 密度比に強く依存することが示されている。しかるに,ここで示した観測結果では,第7図から推察されるように O/N_2 密度比は減少しているにもかかわらず O^+ 密度はO密度とよく似た増加形態をみせている。そこでなぜこのような O^+ 密度の変化が起こったかが問題になるが,ここでは詳細な理論の展開は行わず,ただ二つの考え得る説明の可能性を指摘するにとどめよう。

第一に、観測された O+密度の増加を電子温度やイオ ン温度の上昇の結果と考えて説明する ことは可能であ る。十分大きな温度上昇があれば、 F_2 領域では O^+ 密 度は減少しても上層では増加が期待できる。もしこの立 場をとれば観測された O+密度変化の南北非対称性は南 北両半球の高さの違いによるのではなく、実際に南半球 側で大きな温度上昇があり、北半球側では大した温度上 昇は起こらなかったことを意味する。 温度上昇による O*密度の増加は、その増加率が高度とともに増大する ことが期待されるのに対して、観測では高度の低い南半 球側で密度増加が見られ、北半球ではむしろ減少傾向が 見られるからである。Evans (1970) は IS (Incoherent Scatter) レーダによる電子温度の測定結果を統計して, 地磁気擾乱時に夜間の電子温度は地磁気静穏時の2倍程 度に上昇するが、昼間の電子温度の上昇は30%に満たな いという結果を示している。もし日の出前後の時間帯の 電子温度変化が夜間の変化と近いものとすれば、この統 計結果は観測された O+密度の増加を温度上昇の効果と する考えに一つの根拠を与えるものである。またこの場 合,観測された O^+ とOの密度変化が似ている事実は、 電子温度やイオン温度の上昇と同様な中性大気の温度上 昇が起こったことを意味するが、これも十分にあり得る ことである。

第二に、日の出前後という電離層の電子密度が急激に増加していく時間には、 O^+ 密度は実際にO密度の変化に支配され O/N_2 密度比にはあまり影響されない可能性がある。もともと O^+ 密度が O/N_2 密度比に強く依存するのは、Oの光電離による O^+ 生成と、 O^+ の N_2 との間の化学反応による消滅がつりあっている場合である。日の出前後の時間帯では、 O^+ 密度は増加していく過程にあり生成が消滅よりも大きい効果を及ぼしていることを意味する。またこの時間帯に F 領域の O/N_2 密度比は昼間に向かって減少していることは注目に値する事実である。つまり通常の電離層日変化において、朝方

にはO/N₂密度比の減少するにもかかわらずO+密度は 増加するわけである。Chandra and Stubbe (1971) は 数値計算によって F_2 層ピーク の 電子密度が N_2 密度 の変化にどんな応答を示すかを調べたが、その結果は日 の出前後の電子密度変化は N2 密度の増減にほとんど影 響されないことを示している。 Prölss and von Zahn (1974) はESRO一4の中性気体分析器の測定結果を 用いて、高度 270 km の O/N_2 密度比と f_0F_2 との間に 良い相関が見られることを示したが、この 結果は11時 LTごろの測定について得られたものであり、上に述べ た考え方と矛盾するものではない。ここで示したデータ でも10時LT前後の測定になっている北半球側ではO+ 密度の減少傾向が認められる。このように、観測された 南半球側の O* 密度の増加を説明するために第二の考え 方を採用した場合にも、南北の非対称性の原因は地方時 の違いに帰せられる。

最後に、この研究では中性粒子とイオンの同時観測が利用できたため、過去に知られていない新しい事実を見出すこともできたし、その解釈も比較的容易に行われた。 O+密度の変化についての説明には不明確な点が残ったが、今後の研究には、電子温度、イオン温度の同時測定データを加えることが第一に重要であろう。また、O+の変化について地方時に対する依存性が強く認められた点を考慮し、別の時刻の観測データについて同様の解析を行うことも重要であろう。

7. ま と め

OGO6号搭載の2種の質量分析器によって得られたイオン及び中性粒子の密度データを用いて、1969年8月26日の磁気嵐について、電離層及び熱圏の構造変化を調べた。データ解析で得られた主な磁気嵐効果について、その理論的検討も含めてまとめると下記のようである。

- (1) Hと Heの密度はSCとほとんど 同時 に 減少し、磁気嵐の最盛期に高緯度地方で 40 % 以上の減少が見られた。この軽い粒子の減少はSCに伴って下部熱圏で大気の上昇運動が起こったことを 示 唆 し ている。
- (2) 400 km 以上の高度ではOと N2 の密度は全体として増加の傾向を示した。この密度変化の始まりは、Hや He の密度変化よりも遅れている。Oと N2 の変化を比較すると、O密度は(1)に述べた大気の上昇運動の影響を受けていることがわかる。軽い粒子と重い粒子の密度変化の時間的関係をみると、大気の上昇運動の効果がまず観測され、大気温度の上昇による効果が遅れて起こることが結論される。

(3) H*密度の変化は、LIT 領域の低緯度側境界を境とする二つの領域で時間的にも別々に起きている。高緯度側では観測の範囲内で(450~1100 km)高度に無関係にH*密度が減少し、低緯度側ではSCより1日程度遅れてH*密度の減少が起こった。この二つの領域の差は、プラズマ圏の外と内のH*の応答の差として理解される。

(4) O*密度は磁気嵐の初期には増加する傾向を示した。 O*密度の減少は磁気嵐の回復期に北半球側でのみ観測された。 O*密度の変化には地方時に対する強い依存性があることが示唆された。

8. おわりに

この研究は著者が米国科学アカデミー(NRC/NAS)のスポンサーのもとに、米国航空宇宙局ゴダード宇宙飛行センターに在住研究員として滞在中に行われたものであり、既に Planetary and Space Science に出版されている(Marubashi, K., C. A. Reber, and. H. A. Taylor, Jr., 1976)が、できるだけ多くの人に紹介する目的で、日本語で書き直すとともに多少の解説を加え、あらためて発表するものである。

参考文献

- Banks, P. M., and J. R. Doupnik, Thermal proton flow in the plasmasphere: The morning sector, *Planet. Space Sci.*, **22**, 79—94, 1974.
- Banks, P.M., and T.E. Holzer, High-latitude plasma transport: The polar wind, *J. Geophys. Res.*, 74, 6317—6332, 1969.
- Banks, P. M., and G. Kockarts, *Aeronomy*, part B, Academic, New York, 1973.
- Banks, P. M., A. F. Nagy, and W. I. Axford, Dynamical behavior of thermal protons in the midlatitude ionosphere and magnetosphere, Planet. Space Sci., 19, 1053—1067, 1971.
- Bauer, S. J., Physics of Planetary Ionosphere, Chapter 5, Physics and Chemistry in Space, vol. 6, edited by J. G. Roederer, Denver, Springer-Verlag, Berlin · Heidelberg, 1973.
- Bauer, S. J., and B. V. Krishnamurthy, Behavior of the topside ionosphere during a great magnetic storm, *Planet. Space Sic.*, **16**, 653-663, 1968.
- Brinton, H. C., J. M. Grebowsky, and H. G. Mayr, Altitude variation of ion composition in the midlatitude trough region: Evidence for

- upward plasma flow.
- J. Geophys. Res., 76, 3738-3745, 1971.
- Brinton, H.C., and H.G. Mayr, Thermospheric hydrogen: Absolute densities and temporal variations deduced from *in situ* measurements, *J. Geophys. Res.*, **76**, 6198—6201, 1971.
- Chandra, S., and A.K. Sinha, The role of eddy turbulence in the development of self-consistent models of the lower and upper thermospheres, *J. Geophys. Res.*, 79, 1916—1922, 1974.
- Chandra, S., and J.R. Herman, F-region ionization and heating during magnetic storms, *Planet. Space Sci.*, 17, 841—851, 1969.
- Chandra, S., and P. Stubbe, Ion and neutral composition change in the thermospheric region during magnetic storms, *Planet. Space Sci.*, 19, 491—502, 1971.
- CIRA 1972, compiled by the Committee for the COSPAR International Reference Atmosphere of COSPAR Working Group 4,

 Akademie-Verlag. Berlin, 1972.
- Duncan, R.A., F-region seasonal and magneticstorm behavior, J. Atmos. Terr. Phys., 31, 59— 70, 1969.
- Evans, J. V., Midlatitude ionospheric temperatures during three magnetic storms, *J. Geophys. Res.*, 75, 4803—4813, 1970.
- Hedin, A. E., H. G. Mayr, C. A. Reber, N. W. Spencer, and G. R. Carignan, Empirical model of global thermospheric temperature and composition based on data from OGO-6 quadrapole mass spectrometer, J. Geophys. Res., 79, 215—225, 1974.
- King, G.A.M., The ionospheric disturbance and atmospheric waves, *J. Atmos. Terr. Phys.*, 28, 957—963, 1966.
- King, G. A. M., The ionospheric F-region storm, J. Atmos. Terr. Phys., 33, 1223—1240, 1971.
- Marubashi, K., Escape of the polar-ionospheric plasma into the magnetospheric tail, *Rep. Ionos.* Space Res. Japan., 24, 322—346, 1970.
- Marubashi, K., and J.M. Grebowsky, A model study of diurnal behavior of the ionosphere and the protonosphere coupling, *J. Geophys. Res.*, 81, 1700—1706, 1976.
- Marubashi, K., C.A. Reber, and H.A. Taylor, Jr.,

- Geomagnetic storm effects on the thermosphere and the ionosphere revealed by *in situ* measurements from OGO 6, *Planet. Space Sci.*, 24, 1031—1041, 1976.
- Matuura, N., The condition of the upper atmosphere based on the electron density profiles of the F-region, Canad. J. Phys., 44, 175—205, 1966.
- Matuura, N., Theoretical models of ionospheric storms, *Space Sci. Rev.*, 13, 124—189, 1972.
- Mayr, H.G., E.G. Fontheim, L.H. Brace, H.C. Brinton, and H.A. Taylor, Jr., A theoretical model of the ionosphere dynamics with interhemispheric coupling, J. Atmos. Terr. Phys., 34, 1659—1680, 1972.
- Obayashi, T., World-wide electron density changes and associated thermospheric winds during an ionospheric storm, *Planet. Space Sci.*, **20**, 511—520, 1972.
- Obayashi, T., and N. Matuura, Theoretical model of F-region storms, in E.R. Dyer (General ed.), Solar-Terrestrial Physics/1970: Part IV, 199—211, Reidel Publ. Co., Dordrecht, Holland, 1972.
- Park, C.G., Some features of plasma distribution in the plasmasphere deduced from antarctic whistlers, *J. Geophys. Res.*, 79, 169—173, 1974. Prölss, G.W., and U. von Zahn, Esro 4 gas ana-

- lyzer results, 2. Direct measurements of changes in the neutral composition during an ionospheric storm, *J. Geophys. Res.*, **79**, 2535—2539, 1974.
- Reber, C. A., and P. B. Hays, Thermospheric wind effects on the distribution of helium and argon in the earth's upper atmosphere, *J. Geophys. Res.*, 78, 2977—2991, 1973.
- Schunk, R., and J.C.G. Walker, Minor ion diffusion in the F₂ region of the ionosphere, *Planet*. Space Sci., 18, 1319—1334, 1970.
- Seaton, M, J., A possible explanation of the drop in F-region critical densities accompanying major ionospheric storms, J. Atmos. Terr. Phys., 8, 122—124, 1956.
- Taeusch, D. R., G. R. Carignan, and C. A. Reber, Neutral composition variation above 400 kilometers during a magnetic storm, J. Geophys. Res., 76, 8318-8325, 1971.
- Taylor, H. A., Jr., The light ion trough, *Planet. Space Sci.*, 20, 1593—1605, 1972.
- Taylor, H. A., Jr., Parametric description of thermospheric ion composition results, J. Geophys, Res., 78, 315—319, 1973.
- Volland, H., and H.G. Mayr, Response of the thermospheric density to auroral heating during geomagnetic disturbances, J. Geophys. Res., 76. 3764—3776, 1971.